

## О ДИПОЛЬНОМ ХАРАКТЕРЕ КОЛЛАПСА ЛЭНГМЮРОВСКИХ ВОЛН

Л.М.Дегтярев, В.Е.Захаров

1. Лэнгмюровский коллапс [1] является важным механизмом передачи энергии от лэнгмюровских волн к частицам плазмы; изучение структуры плазменной каверны при коллапсе представляет большой интерес. Ранее уже сообщалось [2, 3], что в ряде случаев может осуществляться коллапс, не обладающий сферической или (в плоском случае) аксиальной симметрией. Результат настоящей работы состоит в установлении того факта, что основную роль в коллапсе играют автомодельно сжимающиеся каверны, внутри которых распределение осциллирующего электрического заряда имеет характер диполя, вытянутого в плоскости, перпендикулярной дипольному моменту.

Как и в [1] будем исходить из системы уравнений для комплексной огибающей высокочастотного потенциала  $\Psi$

$$\nabla \Psi = \frac{3}{8} \frac{\mathbf{E}}{\left(2\pi n T_e \frac{m}{M}\right)^{1/2}}, \quad \nabla \phi = \frac{1}{2} \left( \mathbf{E} e^{-i\omega_p t} + \mathbf{E}^* e^{i\omega_p t} \right)$$

и безразмерной вариации плотности

$$n = \frac{3}{8} \frac{\delta n}{n_0} \frac{M}{m}.$$

Здесь  $\phi$  – электростатический потенциал,  $n_0$  – невозмущенная плотность плазмы.

Эти уравнения, записанные в безразмерных переменных

$$t = \frac{4}{3} \frac{m}{M} \omega_p t, \quad r = \frac{4}{3} \sqrt{\frac{m}{M}} \frac{r}{r_D},$$

$$r_D = \sqrt{\frac{T_e}{4\pi e^2 n_0}} \text{ – дебаевский радиус,}$$

имеют вид

$$\Delta(i\Psi_t + \Delta\Psi) = \operatorname{div}(n \nabla \Psi),$$

$$n_t + \Delta\Phi = 0, \quad \Phi_t + n + |\nabla \Psi|^2 = 0. \quad (1)$$

$\Phi$  – гидродинамический потенциал.

В случае волн малой амплитуды  $|\nabla \Psi|^2 \ll 1$ ,  $\frac{|E|^2}{8\pi} \ll \frac{m}{M}$  система (1) приводится к одному уравнению [1] (статическое приближение)

$$\Delta(i\Psi_t + \Delta\Psi) + \operatorname{div}(|\nabla \Psi|^2 \nabla \Psi) = 0. \quad (2)$$

Система (1) сохраняет интегралы

$$I_1 = \int |\nabla \Psi|^2 d\tau ,$$

$$I_2 = \int (|\Delta \Psi|^2 + n |\nabla \Psi|^2 + \frac{1}{2} n^2 + \frac{1}{2} (\nabla \Phi)^2) d\tau ,$$

а уравнение (2) – интеграл  $I_1$  и  $I_2 = \int (|\Delta \Psi|^2 - \frac{1}{2} |\nabla \Psi|^4) d\tau$ .

Уравнения (1) и (2) имеют общие стационарные решения  $\Psi = \phi e^{i\lambda^2 t}$ ,  $\phi(\tau)$  удовлетворяет уравнению

$$\Delta(-\lambda^2 \phi + \Delta \phi) + \operatorname{div}(|\nabla \phi|^2 \nabla \phi) = 0 . \quad (3)$$

Умножая (3) на  $(\tau \nabla \phi^*)$ , вкладывая с комплексно-сопряженным и интегрируя, можно установить, что в двумерном случае для стационарных решений  $I_2 = 0$ ; в трехмерном случае  $I_2 = \lambda^2 I_1$ .

2. Приведем результаты некоторых численных расчетов для системы (1) и уравнение (2). Рассмотрим задачу в прямоугольной области на плоскости  $(x, y)$  с краевыми условиями второго рода. Начальное распределение осциллирующего электростатического заряда  $\rho = \Delta \Psi$  имеет вид

$$\rho(x, y, 0) = \rho_0 F(x, y) e^{im\theta}$$

$$F(x, y) = \begin{cases} z^{1/2}; & y < y_0 \\ -z^{1/2}; & y > y_0, \\ 0; & y = y_0, z < 0 \end{cases} \quad z = 1 - \left( \frac{x - x_0}{a} \right)^2 - \left( \frac{y - y_0}{b} \right)^2 \quad (4)$$

$\rho_0, m, a, b$  – параметры,  $\theta = \arctg \frac{x - x_0}{y - y_0}$ .

В случае системы (1), кроме того, полагаем

$$n(x, y, 0) = -|\nabla \Psi|^2,$$

$$n_t(x, y, 0) = 0,$$

Такое начальное распределение заряда позволяет задавать различные начальные конфигурации каверны. В частности, диполь вытянутый вдоль и поперек дипольного момента, аксиально-симметричную яму плотности с вращающимся полем в центре ( $m = 1$ ) и др. При любых начальных данных (4) качественный характер поведения решения оказался зависящим только от величины интеграла  $I_2$ . При  $I_2 > 0$  происходит "расплывание" начального распределения. При  $I_2 = 0$  решение приблизительно сохраняет форму начального условия. При  $I_2 < 0$  как для уравнения (2)

так и для системы (1) наблюдается коллапс в виде взрывообразного нарастания амплитуды лэнгмюровских волн и вариации плотности. При коллапсе как в статическом случае (2), так и в "звуковом" случае (1) плазменная каверна быстро становится автомодельно сжимающейся и ее форма не зависит от начального распределения (4). В процессе сжатия интенсивность лэнгмюровских волн в центре каверны увеличивается без потери точности в несколько десятков раз. На рис. 1, 2 изображены коллапсы с начальными условиями (4) при  $m = 0$  в статическом и звуковом случае, на рис. 3 – коллапс в статическом случае первоначально аксиально-симметричного распределения с вращающимся полем ( $m = 1$ ).

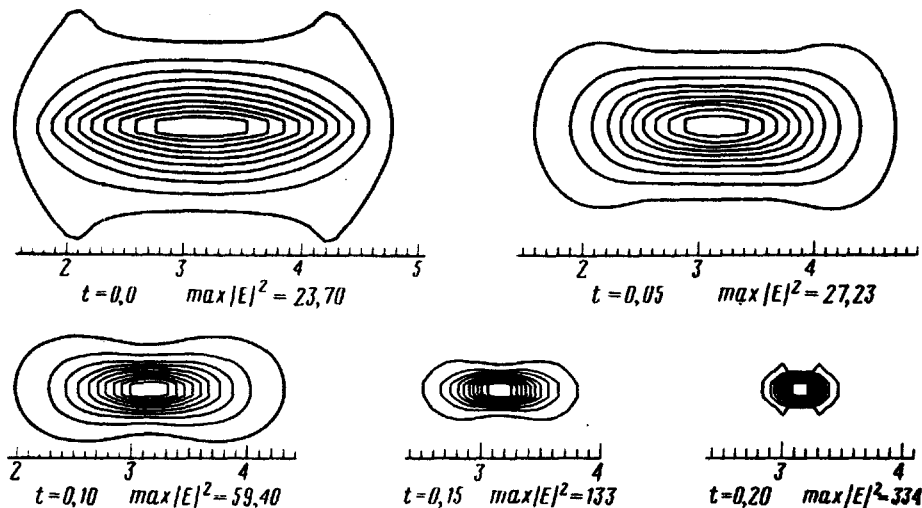


Рис. 1

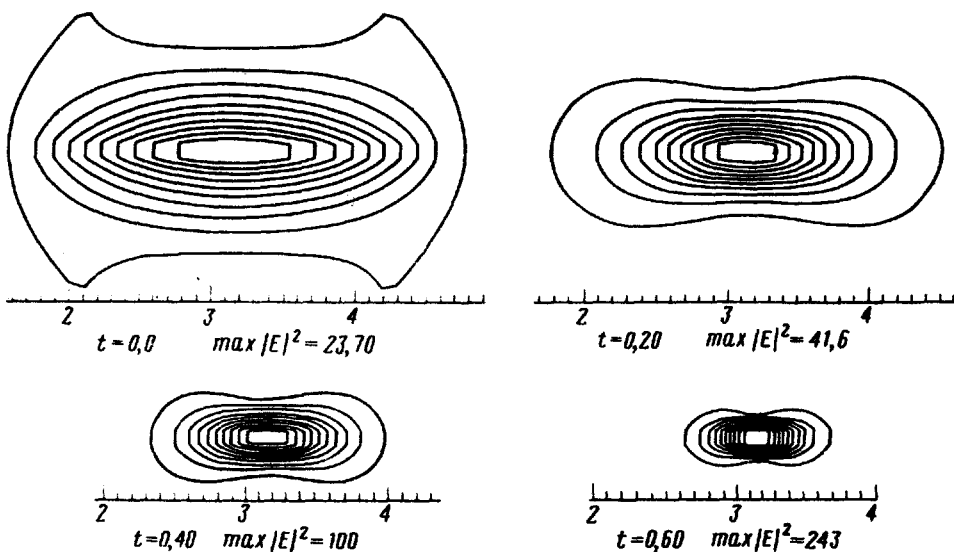


Рис. 2

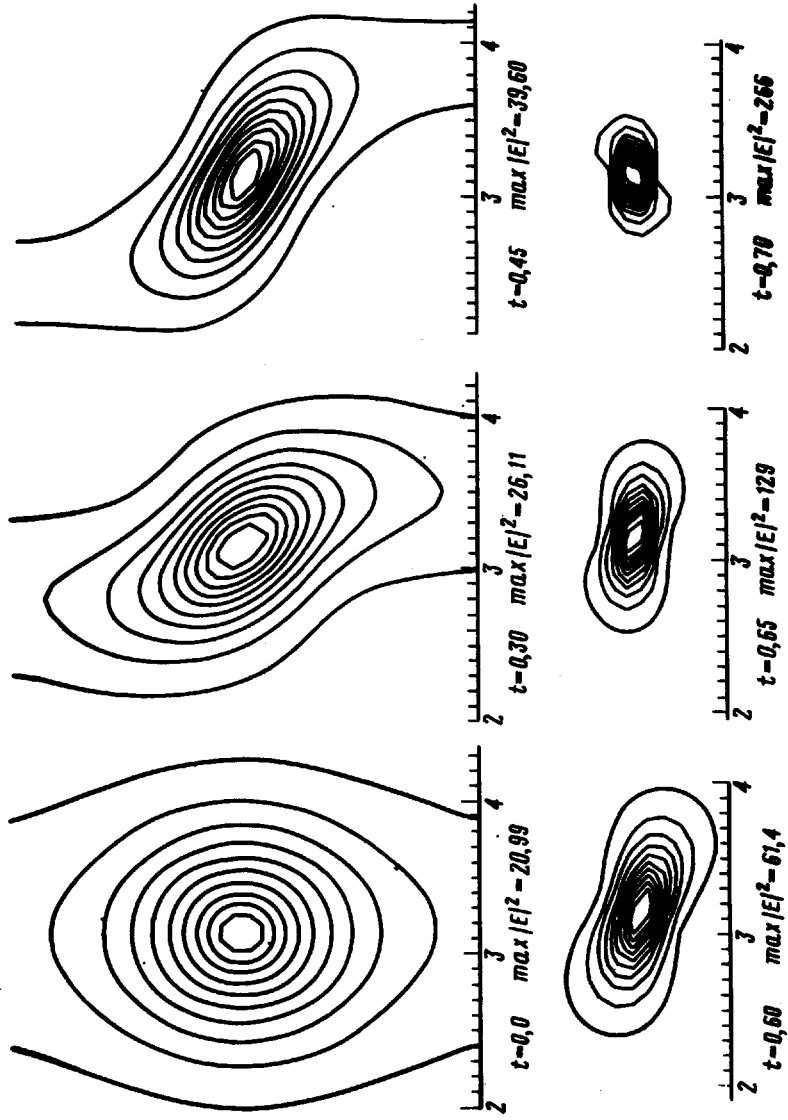


Рис. 3

3. Уравнения (1), (2) в плоском случае не имеют автомодельных решений, пригодных для объяснения результатов численных экспериментов. Они, однако, имеют асимптотические автомодельные решения, точность которых улучшается по мере приближения к точке коллапса.

В статическом приближении такое решение будем искать в виде

$$\Psi = A e^{i\Phi}, \quad A = \phi\left(\frac{r}{f(t)}\right) + E_0 r + \dots, \quad (5)$$

$$\Phi = \int \frac{dt}{f^2(t)} + f f' \Phi\left(\frac{r}{f(t)}\right) + \dots .$$

Здесь  $\phi(\vec{\xi})$  – вещественное решение уравнения (3),  $f(t_0) = 0$ ;  $t_0$  – точка коллапса. При  $t$  близком к  $t_0$  и соответствующем выборе  $\Phi(\vec{\xi})$  решение (5) в главных по  $1/f$  порядках удовлетворяет уравнению (2).

Подставляя (5) в  $I_2$  и учитывая что  $\int (|\Delta\phi|^2 - \frac{1}{2} |\nabla\phi|^4) d\vec{\xi} = 0$ , находим в главном по  $1/f$  порядке

$$af'^2 - \frac{\beta}{f} = \text{const},$$

$$\alpha = \int [(2\nabla\Phi\nabla\phi + \phi\Delta\Phi)^2 - \phi^2 |\nabla\phi|^2 (\nabla\Phi)^2] d\vec{\xi},$$

$$\beta = 2 \int (E_0 \nabla\phi) (\nabla\phi)^2 d\vec{\xi}$$

откуда следует

$$f(t) \approx (t_0 - t)^{2/3}.$$

Аналогичное решение [4] было раньше построено в теории самофокусировки.

Из всех решений уравнения (3) в (5) должно осуществляться решение с минимальным значением  $I_1$ . Можно предположить, что таковым является решение дипольного типа – аксиально симметричное решение из-за условия  $\phi_r(0) = 0$  и немонотонного поведения  $|\phi_r(r)|^2$  обладает большим значением  $I_1$ .

В рамках системы (1) приближенное автомодельное решение можно получить в случае  $n \gg 1$ , положив

$$\Psi_t \approx i\lambda^2(t)\Psi.$$

Полагая

$$\lambda^2(t) = \frac{1}{(t_0 - t)^2}, \quad \Psi = \phi\left(\frac{r}{t_0 - t}\right), \quad n = \frac{1}{(t_0 - t)^2} \phi\left(\frac{r}{t_0 - t}\right) \quad (6)$$

получим для  $\phi$ ,  $n$  систему уравнений

$$\Delta(-\phi + \Delta\phi) = \text{div}(n \nabla\phi), \quad (7)$$

$$6n + 6\vec{\xi} \frac{\partial n}{\partial \xi} + \xi_\alpha \xi_\beta \frac{\partial^2 n}{\partial \xi_\alpha \partial \xi_\beta} - \Delta n = \Delta |\nabla \phi|^2.$$

Ранее [2] было показано, что система (7) не имеет аксиально симметричных физически разумных решений, однако этот запрет не распространяется на распределения дипольного типа.

Как решение (5), так и решение (6) соответствуют "сильному коллапсу", т. е. попаданию в особенность конечной энергии лэнгмюровских волн и качественно хорошо согласуются с результатами численного эксперимента.

Институт прикладной математики  
Академии наук СССР

Поступила в редакцию  
12 июля 1974 г.

### Литература

- [1] В.Е.Захаров. ЖЭТФ, 62, 1745, 1972.
  - [2] Л.М.Дегтярев, В.Е.Захаров, Л.М.Рудаков. Препринт ИПМ №34 за 1974 г. Деп. №1449-74, ЖЭТФ, 68, вып. 1, 1975.
  - [3] В.Е.Захаров, А.Ф.Маstryков, В.С.Сынах. Письма в ЖЭТФ, 20, 7, 1974.
  - [4] В.Е.Захаров, В.В.Соболев, В.С.Сынах. Письма в ЖЭТФ, 14, 564, 1971.
-